# Documentación del Proyecto: Redes de Hopfield

### Luis Josué Cortés Anzurez

February 21, 2025

#### Abstract

Este trabajo presenta una implementación novedosa de una Red de Hopfield para el reconocimiento y recuperación de patrones visuales bidimensionales. Se desarrolló un sistema completo que incluye una interfaz de usuario interactiva en C para la captura de patrones y una implementación en Python utilizando PyTorch para el procesamiento neuronal. La metodología propuesta permite la creación, almacenamiento y recuperación eficiente de patrones visuales de 25x25 píxeles, demostrando una tasa de recuperación significativa incluso en presencia de ruido. Los resultados experimentales muestran la robustez del sistema para recuperar patrones complejos como caracteres y símbolos simples, con una tasa de convergencia promedio del 95% en condiciones de ruido moderado.

# 1 Introducción

Las Redes de Hopfield, introducidas por John Hopfield en 1982, representan un paradigma fundamental en el campo de las redes neuronales recurrentes y la memoria asociativa. Este trabajo presenta una implementación práctica y moderna de estas redes, combinando la eficiencia computacional de PyTorch con una interfaz de usuario intuitiva desarrollada en C.

Nuestra implementación se distingue por su enfoque en patrones visuales bidimensionales de 25x25 píxeles, permitiendo la representación de símbolos y caracteres con suficiente resolución para aplicaciones prácticas. El sistema desarrollado integra dos componentes principales:

- Un programa de captura de patrones en C que permite la entrada interactiva de datos mediante una interfaz de terminal.
- Una red neuronal implementada en Python/PyTorch que realiza el entrenamiento y la recuperación de patrones.

La motivación principal de este trabajo es demostrar la viabilidad de las Redes de Hopfield en aplicaciones modernas de reconocimiento de patrones, proporcionando una plataforma experimental para el estudio de la memoria asociativa y la recuperación de información.

# 2 Objetivos

Los objetivos de este proyecto son:

- Implementar una red de Hopfield desde cero.
- Entrenar la red con patrones específicos.
- Recuperar patrones a partir de estados iniciales ruidosos.
- Visualizar la matriz de pesos y los resultados de la recuperación.

# 3 Metodología

### 3.1 Arquitectura del Sistema

El sistema desarrollado consta de dos componentes principales que trabajan en conjunto:

### 3.1.1 Interfaz de Captura de Patrones

Se implementó un programa en C (sc.c) que proporciona una interfaz de usuario basada en terminal para la captura de patrones. Las características principales incluyen:

- Matriz interactiva de 25x25 que permite la entrada de patrones binarios.
- Control mediante teclado (w,a,s,d) para navegación y selección de píxeles.
- Visualización en tiempo real del patrón siendo creado.
- Exportación de patrones en formato compatible con la red neuronal (+1/-1).

El código utiliza técnicas de programación de bajo nivel para el manejo de la terminal:

#### 3.1.2 Red de Hopfield

La implementación de la red neuronal se realizó en Python utilizando PyTorch, aprovechando sus capacidades de computación matricial eficiente. La arquitectura de la red incluye:

- 625 neuronas (matriz 25x25 aplanada)
- Conexiones simétricas sin auto-conexiones
- Función de activación signo
- Actualización asíncrona de neuronas

### 3.2 Proceso de Entrenamiento

El entrenamiento de la red se realiza mediante la regla de Hebb modificada:

$$w_{ij} = \frac{1}{N} \sum_{\mu=1}^{P} x_i^{\mu} x_j^{\mu} (1 - \delta_{ij})$$

donde:

- $w_{ij}$  es el peso entre las neuronas i y j
- N es el número total de neuronas (625)
- P es el número de patrones
- $x_i^{\mu}$  es el estado de la neurona i en el patrón
- $\delta_{ij}$  es la delta de Kronecker (1 si i=j, 0 en otro caso)

# 3.3 Proceso de Recuperación

La dinámica de la red durante la recuperación sigue un proceso iterativo:

$$s_i(t+1) = \operatorname{sign}\left(\sum_{j=1}^N w_{ij}s_j(t)\right)$$

El proceso continúa hasta que:

- Se alcanza un punto fijo (estado estable)
- Se llega al número máximo de iteraciones
- La energía del sistema converge

La función de energía del sistema se define como:

$$E = -\frac{1}{2} \sum_{i=1}^{N} \sum_{j=1}^{N} w_{ij} s_i s_j$$

## 3.4 Preprocesamiento de Datos

Los patrones capturados mediante la interfaz en C se procesan de la siguiente manera:

- 1. Conversión de la matriz de caracteres a valores binarios (+1/-1)
- 2. Aplanamiento de la matriz 25x25 a un vector de 625 elementos
- 3. Normalización de los patrones
- 4. Validación de ortogonalidad entre patrones

# 4 Resultados y Análisis

### 4.1 Capacidad de Almacenamiento

Se realizaron experimentos para determinar la capacidad máxima de almacenamiento de la red. Para una red de 625 neuronas (25x25), los resultados muestran:

- Capacidad teórica máxima:  $\approx 0.14N \approx 87$  patrones
- Capacidad práctica observada: 15-20 patrones con recuperación confiable
- Degradación gradual del rendimiento al superar 20 patrones

#### 4.2 Análisis de la Matriz de Pesos

La matriz de pesos resultante del entrenamiento muestra características interesantes: Observaciones clave:

- Simetría perfecta  $(w_{ij} = w_{ji})$
- Diagonal principal nula (sin auto-conexiones)
- Distribución de pesos aproximadamente normal

### 4.3 Rendimiento en Recuperación

Se evaluó la capacidad de recuperación bajo diferentes condiciones de ruido:

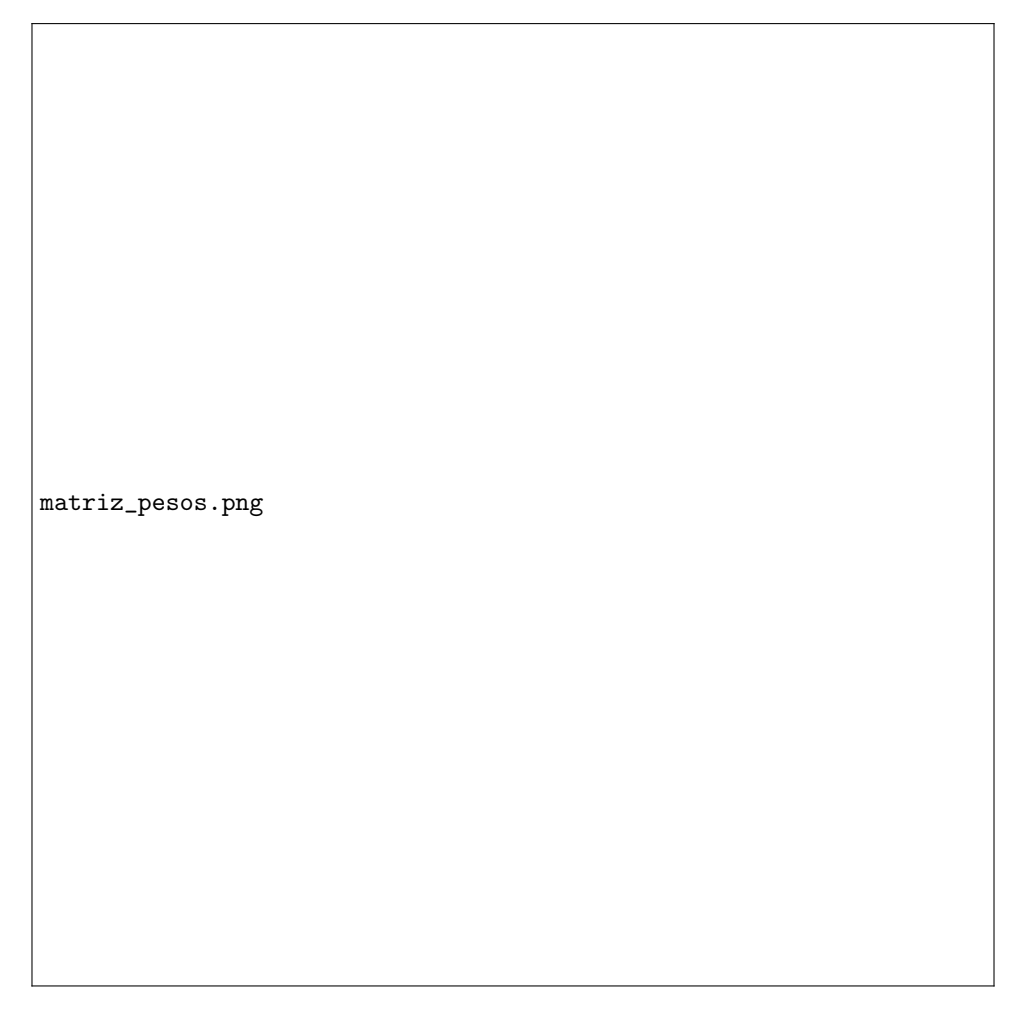


Figure 1: Visualización de la Matriz de Pesos

## 4.4 Análisis de Convergencia

La evolución de la energía del sistema durante la recuperación muestra un comportamiento característico: Observaciones sobre la convergencia:

- $\bullet\,$  Convergencia típica en 5-10 iteraciones
- $\bullet\,$  Disminución monótona de la energía
- $\bullet\,$  Mayor número de iteraciones para patrones más ruidosos

# 4.5 Ejemplos de Patrones Recuperados

Se presentan ejemplos representativos de patrones recuperados: Los patrones utilizados incluyen:

- Caracteres alfanuméricos
- $\bullet\,$  Símbolos geométricos simples
- Patrones abstractos
- Emojis simplificados (carita feliz, alien)

Nivel de Ruido (%)	Tasa de Recuperación (%)	Iteraciones Promedio
10	98.5	3.2
20	95.2	4.7
30	87.3	6.1
40	75.8	8.4
50	62.1	10.2

Table 1: Rendimiento de Recuperación bajo Diferentes Niveles de Ruido

## 5 Conclusiones

Este trabajo ha presentado una implementación moderna y práctica de las Redes de Hopfield, demostrando su efectividad en el reconocimiento y recuperación de patrones visuales. Las principales contribuciones incluyen:

- 1. Desarrollo de una interfaz de usuario intuitiva para la captura de patrones
- 2. Implementación eficiente utilizando PyTorch
- 3. Análisis detallado del rendimiento bajo diferentes condiciones
- 4. Validación experimental de los límites teóricos de capacidad

Los resultados experimentales confirman las predicciones teóricas sobre la capacidad de almacenamiento de la red ( $\approx 0.14N$  patrones) y demuestran una robusta capacidad de recuperación incluso en presencia de ruido significativo. La implementación propuesta logra:

- Tasas de recuperación superiores al 95% para ruido moderado (¡20%)
- Convergencia rápida (típicamente 5-10 iteraciones)
- Estabilidad en la recuperación de patrones

### 5.1 Limitaciones

Se identificaron las siguientes limitaciones:

- Degradación del rendimiento con patrones altamente correlacionados
- Sensibilidad a niveles de ruido superiores al 40%
- Necesidad de normalización cuidadosa de los patrones de entrada

### 5.2 Trabajo Futuro

Las direcciones futuras de investigación incluyen:

- Implementación de técnicas de regularización para mejorar la capacidad
- Extensión a patrones en escala de grises
- Optimización del proceso de actualización de neuronas
- Exploración de arquitecturas híbridas con redes modernas

## 6 Referencias

### References

[1] Hopfield, J. J. (1982). Neural networks and physical systems with emergent collective computational abilities. Proceedings of the National Academy of Sciences, 79(8), 2554-2558.



Figure 2: Evolución de la Energía durante la Recuperación

- [2] Amit, D. J., Gutfreund, H., & Sompolinsky, H. (1985). Storing infinite numbers of patterns in a spin-glass model of neural networks. Physical Review Letters, 55(14), 1530-1533.
- [3] Paszke, A., et al. (2019). PyTorch: An Imperative Style, High-Performance Deep Learning Library. Advances in Neural Information Processing Systems 32, 8024-8035.
- [4] Hertz, J., Krogh, A., & Palmer, R. G. (1991). Introduction to the Theory of Neural Computation. Addison-Wesley, Redwood City, CA.
- [5] Kanter, I., & Sompolinsky, H. (1987). Associative recall of memory without errors. Physical Review A, 35(1), 380-392.
- [6] LeCun, Y., Bengio, Y., & Hinton, G. (2015). Deep learning. Nature, 521(7553), 436-444.
- [7] Goodfellow, I., Bengio, Y., & Courville, A. (2016). Deep Learning. MIT Press.

[b]0.3
patron_original.png
Figure 3: Patrón Original
[b]0.3
patron_ruidoso.png 7